

# Геометрические вычисления в компьютерном зрении

Who? Александр Вахитов

When? October 24, 2015

# План лекции

Список задач

Гомография

ММП

Положение  
калиброванной  
камеры по  
проекциям  
точек

## Проектирование на камеру точек из глобальной системы координат

$$\begin{pmatrix} \hat{X} \\ \hat{Y} \\ 1 \end{pmatrix} =_h K[R, t] \begin{pmatrix} X \\ Y \\ Z \\ 1 \end{pmatrix}$$

- равенство в однородных координатах
- евклидово преобразование  $R, t$
- проектирование на камеру  $K$

# Основные задачи геометрии в компьютерном зрении

$$\begin{pmatrix} \hat{X} \\ \hat{Y} \\ 1 \end{pmatrix} =_h K[R, t] \begin{pmatrix} X \\ Y \\ Z \\ 1 \end{pmatrix}$$

- определение положения калиброванной камеры по проекциям точек
- определение положения точки по ее проекциям на камеры (триангуляция)
- калибровка камеры по проекциям точек

## Задача определения гомографии

### Определение

Гомография  $\mathbf{H}$  - обратимое отображение фактор-множества проективных координат на само себя, такое, что (в однородных координатах) оно представимо как домножение на матрицу.

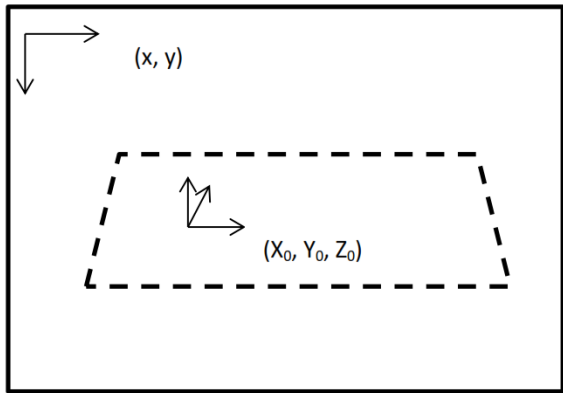
### Пример

$$\mathbf{x} = (1, 1)^T, \quad \mathbf{H} = \begin{pmatrix} 5 & -5 \\ 0 & 5 \end{pmatrix} \quad \mathbf{y} = \mathbf{H}\mathbf{x} = ?$$

### Упражнение

- Покажите, что гомографией представимо центральное проектирование прямой на плоскости на другую прямую.
- Единственна ли матрица гомографии? Как можно описать матрицы, соответствующие одной гомографии?

## Гомография между реальной и изображенной плоскостями



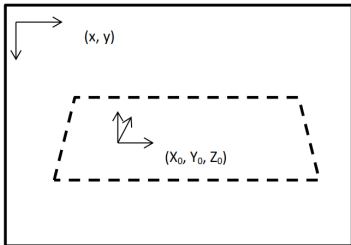
$$x \equiv K[r_1 \ r_2 \ r_3 \ t] \begin{pmatrix} X \\ Y \\ 0 \\ 1 \end{pmatrix} = K[r_1 \ r_2 \ t] \begin{pmatrix} X \\ Y \\ 1 \end{pmatrix}$$

## Гомография между реальной и изображенной плоскостями

$$x =_h K[r_1 \ r_2 \ r_3 \ t] \begin{pmatrix} X \\ Y \\ 0 \\ 1 \end{pmatrix} =_h K[r_1 \ r_2 \ t] \begin{pmatrix} X \\ Y \\ 1 \end{pmatrix}$$

Обозначим  $H = K[r_1, r_2, t]$ . Видим, что гомография связывает однородные координаты в плоскости и в изображении. Если матрица невырожденная, то существует  $H^{-1}$ , и  $H$  является гомографией.

## Вычисление гомографии

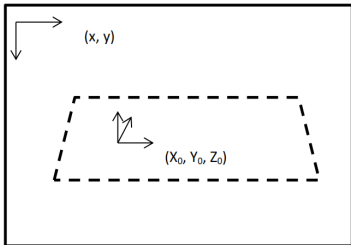


Пусть известны пары векторов однородных координат  $(\mathbf{x}_{h,i}, \mathbf{y}_{h,i})_{i=1\dots N}$ , и  $\mathbf{x}_{h,i}$  - координаты в плоскости,  $\mathbf{y}_{h,i}$  - координаты на экране.  
Составим уравнения относительно элементов  $\mathbf{H}$  и скаляров  $\lambda_i$ :

$$\lambda_i \mathbf{y}_{h,i} = \mathbf{H} \mathbf{x}_{h,i}.$$

Сколько таких уравнений однозначно задают гомографию?

# Вычисление гомографии



Пусть известны пары векторов однородных координат  $(\mathbf{x}_{h,i}, \mathbf{y}_{h,i})_{i=1\dots N}$ , и  $\mathbf{x}_{h,i}$  - координаты в плоскости,  $\mathbf{y}_{h,i}$  - координаты на экране.  
Составим уравнения относительно элементов  $\mathbf{H}$  и скаляров  $\lambda_i$ :

$$\lambda_i \mathbf{y}_{h,i} = \mathbf{H} \mathbf{x}_{h,i}.$$

Сколько таких уравнений однозначно задают гомографию?

## Реальный случай

- Имеет место погрешность в нахождении проекций точек по изображению.
- Как найти гомографию с максимальной точностью?
- Ответом является метод максимального правдоподобия.

Сначала сформулируем в общем виде задачу, затем предложим метод для ее решения.

## Общая задача

Имеется

Набор наблюдений - пар  
 $(x_1, y_1), (x_2, y_2), \dots, (x_n, y_n)$ .

Элементы пары связаны отображением  $f$  с параметром  $p$  ( $i$  - номер пары):

$$y_i = f(x_i, p),$$

Найти

$$p - ?$$

Укажите, как конкретизируется для:

- поиск гомографии
- определение положения калиброванной камеры по проекциям точек
- определение положения точки по ее проекциям на камеры (триангуляция)
- калибровка камеры по проекциям точек

## Общая задача с аддитивной помехой

Имеется

Набор наблюдений - пар  $(x_1, y_1), (x_2, y_2), \dots$   
Элементы пары связаны отображением  $f$  с  
параметром  $p$  ( $i$  - номер пары), с точностью до шума  
 $v_i$ :

$$y_i = f(x_i, p) + v_i,$$

Найти

$$p - ?$$

Как вы думаете, что мы можем (должны) знать о  $v_i$ ,  
чтобы решить задачу?

## Метод максимального правдоподобия ММП

Считаем помеху случайной гауссовой величиной  $\mathbf{v}_i$  со средним  $\mathbf{e}$  и ковариацией  $\Sigma = \sigma^2 I$ :

$$\mathbf{y}_i = f(\mathbf{x}_i, \mathbf{p}) + \mathbf{v}_i.$$

Оценим вероятность, используя предположение о независимости  $\mathbf{v}_i$ :

$$\begin{aligned} P\{p\} &= P\{\mathbf{v}_1 = \mathbf{y}_1 - f(\mathbf{x}_1, \mathbf{p}), \\ \mathbf{v}_2 = \mathbf{y}_2 - f(\mathbf{x}_2, \mathbf{p}), \dots, \mathbf{v}_n = \mathbf{y}_n - f(\mathbf{x}_n, \mathbf{p})\} = \\ &= \prod_{i=1}^n P\{\mathbf{v}_i = \mathbf{y}_i - f(\mathbf{x}_i, \mathbf{p})\} = \\ &= \prod_{i=1}^n e^{-\frac{1}{2} \mathbf{v}_i^T \Sigma^{-1} \mathbf{v}_i}. \end{aligned}$$

## ММП (2)

Назовем оценкой ММП такой  $\hat{\mathbf{p}}$ , что

$$\hat{\mathbf{p}} = \arg \max_{\mathbf{p}} \prod_{i=1}^n e^{-\frac{1}{2} \mathbf{v}_i^T \Sigma^{-1} \mathbf{v}_i}.$$

Как найти максимум? Логарифмированием!

$$\arg \max C(x) = \arg \max \ln C(x)$$

$$\begin{aligned}\hat{\mathbf{p}} &= \arg \max_{\mathbf{p}} - \sum_{i=1}^n \| \mathbf{y}_i - f(\mathbf{x}_i, \mathbf{p}) \|^2 = \\ &= \arg \max_{\mathbf{p}} - \| \mathbf{Y} - F(\mathbf{X}, \mathbf{p}) \|^2,\end{aligned}$$

при  $\mathbf{X} = col(\mathbf{x}_1, \dots, \mathbf{x}_n)$ ,

$F = col(f(\mathbf{x}_1, \mathbf{p}), f(\mathbf{x}_2, \mathbf{p}), \dots, f(\mathbf{x}_n, \mathbf{p}))$ ,

$\mathbf{Y} = col(\mathbf{y}_1, \dots, \mathbf{y}_n)$ .

## Метод наименьших квадратов

- 1    обычный  $\mathbf{Y} = \mathbf{X}\mathbf{p} + \mathbf{v}$
- 2    нелинейный  $\mathbf{Y} = F(\mathbf{X}, \mathbf{p}) + \mathbf{v}$

## МНК (2)

$$\|\mathbf{X}\mathbf{p} - \mathbf{Y}\|^2 \rightarrow \min$$

$$\nabla_{\mathbf{p}} \|\mathbf{X}\mathbf{p} - \mathbf{Y}\|^2 = 0.$$

Пусть  $\mathbf{X}^T \mathbf{X}$  обратима, тогда:

$$\mathbf{p} = (\mathbf{X}^T \mathbf{X})^{-1} \mathbf{X}^T \mathbf{Y}.$$

Что происходит в ином случае?

## МНК: Если матрица не обратима

Пусть  $\mathbf{A} = \mathbf{X}^T \mathbf{X}$  не обратима. Изучим SVD разложение для  $\mathbf{A}$ .

$$\mathbf{A} = \mathbf{U} \begin{pmatrix} \text{diag}(s_1, s_2, \dots, s_k) & \mathbf{0} \\ \mathbf{0} & \mathbf{0} \end{pmatrix} \mathbf{U}^T.$$

Рассмотрим матрицу

$$\mathbf{A}^\dagger = \mathbf{U}^T \begin{pmatrix} \text{diag}(s_1^{-1}, s_2^{-1}, \dots, s_k^{-1}) & \mathbf{0} \\ \mathbf{0} & \mathbf{0} \end{pmatrix} \mathbf{U}.$$

Убедитесь, что  $\forall \mathbf{x} : \mathbf{A}\mathbf{x} \neq \mathbf{0} \quad \mathbf{A}^\dagger \mathbf{A}\mathbf{x} = \mathbf{x}$ .

Обоснуйте, что я могу использовать как решение

$$\mathbf{p} = (\mathbf{X}^T \mathbf{X})^\dagger \mathbf{X}^T \mathbf{Y}.$$

Есть ли еще решения?

## Нелинейный МНК

$$\arg \min \| \mathbf{Y} - F(\mathbf{X}, \mathbf{p}) \|^2$$

Нет решения в явном виде, можно использовать локальную оптимизацию.

$$C(\mathbf{p}) \rightarrow \min$$

Градиентный метод: начнем с  $\mathbf{p}_0$ ,

$$\hat{\mathbf{p}}_n = \hat{\mathbf{p}}_{n-1} - \gamma \nabla C(\mathbf{p}_{n-1}),$$

пока не

- $\|\hat{\mathbf{p}}_n - \hat{\mathbf{p}}_{n-1}\| < \epsilon_1$
- $\|\nabla C(\mathbf{p}_n)\| < \epsilon_2$
- $n = N_{stop}$

Сходится для достаточно малого  $\gamma > 0$ .

## Нелинейный МНК (2)

- Градиентный метод - 'медленно, но верно'
- Иначе: Метод Ньютона и его развитие - метод Левенберга-Марквардта (google: levmar)

## Метод Ньютона

Разложим  $C(\mathbf{p})$  по Тейлору до второго члена:

$$\begin{aligned} C(\mathbf{p}) &= C(\mathbf{p}_0) + \nabla^T C(\mathbf{p}_0)(\mathbf{p} - \mathbf{p}_0) + \\ &+ \frac{1}{2}(\mathbf{p} - \mathbf{p}_0)^T \nabla^2 C(\mathbf{p}_0)(\mathbf{p} - \mathbf{p}_0) + o(\|\mathbf{p} - \mathbf{p}_0\|^2). \end{aligned}$$

$$\nabla C(\mathbf{p}) = \mathbf{0} \Leftrightarrow \nabla C(\mathbf{p}_0) + \nabla^2 C(\mathbf{p}_0)(\mathbf{p} - \mathbf{p}_0) = \mathbf{0},$$

и аналогично МНК, для обратимой  $\nabla^2 C(\mathbf{p}_0)$

$$\mathbf{p} = \mathbf{p}_0 - (\nabla^2 C(\mathbf{p}_0))^{-1} \nabla C(\mathbf{p}_0).$$

Таким образом, метод Ньютона:

$$\mathbf{p}_n = \mathbf{p}_{n-1} - (\nabla^2 C(\mathbf{p}_0))^{-1} \nabla C(\mathbf{p}_{n-1}),$$

инициализация и останов аналогично градиентному.

## Метод Левенберга - Марквардта

Вернемся к нелинейному МНК, опустим зависимость  $F$  от  $\mathbf{X}$ . Приближенно

$$F(\mathbf{p}) = F(\mathbf{p}_0) + \mathbf{J}^T(\mathbf{p} - \mathbf{p}_0) = \mathbf{F}_0 + \mathbf{J}^T\Delta.$$

$$\nabla C(\mathbf{p}) = 2\mathbf{J}(\mathbf{F}_0 + \mathbf{J}^T\Delta - \mathbf{Y}) = 0.$$

Отсюда

$$\Delta = (\mathbf{J}\mathbf{J}^T)^{-1}\mathbf{J}(\mathbf{Y} - \mathbf{F}_0).$$

Для стабильности при необратимой или плохо обусловленной  $\mathbf{J}\mathbf{J}^T$ ,

$$\Delta = (\mathbf{J}\mathbf{J}^T + \lambda\mathbf{I})^{-1}\mathbf{J}(\mathbf{Y} - \mathbf{F}_0).$$

Приходим к методу

$$\hat{\mathbf{p}}_n = \hat{\mathbf{p}}_{n-1} - (\mathbf{J}\mathbf{J}^T + \lambda\mathbf{I})^{-1}\mathbf{J}(\mathbf{Y} - \mathbf{F}_0),$$

при  $\mathbf{J} = \nabla F(\mathbf{p}_{n-1})$ ,  $\mathbf{F}_0 = F(\mathbf{p}_{n-1})$ .

Для малого  $\lambda$  метод Ньютона, а для большого  $\lambda$  градиентный.

## Параметризация вращений

Известный факт: любое вращение есть поворот относительно одной оси на известный угол. Пусть ось  $n \in S^2$ , угол  $\theta \in \mathbb{R}$ , тогда  $\phi = n\theta$ . Для вычисления  $R$  по  $\phi$ :

- $\theta = \|\phi\|$ ,  $n = \phi / \|\phi\|$ .
- формула Родрига (Rodrigues) (по оси и углу дает матрицу поворота) - cv2.rodrigues в OpenCV

## Упражнения

- 1 Вычислить гомографию из плоскости в экран и развернуть проекцию фасада матмеха
- 2 Решить с помощью МНК поиск плоскости в 3D

## Помехи в наблюдениях пар $(x, y)$

1 аддитивные (с добавлением случайных  $v_i$ ):

$$\{(x_1, y_1), (x_2, y_2), \dots\} \mapsto$$

$$\{(x_1, y_1 + v_1), (x_2, y_2 + v_2), \dots\}$$

2 выбросы:

$$\{(x_1, y_1), (x_2, y_2), (x_3, y_3), \dots\} \mapsto$$

$$\{(x_1, y_1), (x_o, y_o), (x_3, y_3), \dots\}$$

3 другие, более сложные

## Метод консенсуса случайной выборки (RANSAC)

Выброс (outlier) - наблюдение, не подчиняющееся принятой математической модели

Например:

$$y_i = x + v_i, \quad v \in N(0, 1), \quad i = 1 \dots K.$$

Пусть  $x = 2$

$$\{y_i\} = \{3.532, 1.23, 2.37, 1.77, 3.11, 72.57, 0.91, 2.03\}$$

Где здесь выброс?

## Модель наблюдений с выбросами

Пусть имеется модель построения наблюдений  $y$  по неизвестным параметрам  $x$ , так что наблюдения искажаются аддитивной помехой  $v$ :

$$y = f(x) + v.$$

Может возникнуть случайная ошибка (выброс) в наблюдениях, так что они перестанут подчиняться модели:

$$\{y_1(x_1, v_1), y_2(x_2, v_2), y_3(x_3, v_3)\} \mapsto$$

$$\{y_1(x_1, v_1), y_o, y_3(x_3, v_3)\}$$

При этом, вероятность появления  $x_o$ ,  $v_o$  таких, что  $y_o = f(x_o) + v_o$  практически нулевая.

## Модель наблюдений с выбросами (2)

Получается, что все наблюдения  $\{y_i\}_{i \in I}$  разбиваются на два класса, то есть  $I = I_1 \cup I_2$ ,

$$\forall i \in I_1 \quad y_i = f(x_i) + v_i.$$

При этом, для  $i \in I_2$  может быть другая модель, может модели вообще не быть.

## Фильтрация выбросов методом RANSAC

Задача      найти  $p$  по наблюдениям  $x_i, y_i$

Алгоритм      В цикле по  $j = 1 \dots N$

- случайно выбрать  $M$  наблюдений  $\{(x_{ij}, y_{ij})\}$
- построить гипотезу о значении неизвестного вектора  $\hat{p}_j$
- определить множество  $S_j$  наблюдений, удовлетворяющих гипотезе  $\hat{p}_j$
- $V_j = |S_j|$

Выбрать

$$\hat{p} = \hat{p}_j : \quad j = \operatorname{argmax} V_j$$

## Положение калиброванной камеры по проекциям точек

$(\pi_x, \pi_y)$  - функции проектирования

Дано Матрица камеры  $K$ , проекции  $(\hat{x}_i, \hat{y}_i)_{i=1}^N$ , точки  $(X_i, Y_i, Z_i)_{i=1}^N$

Найти  $V$ , такое что  $R, t$ :

$$\sum_{i \in V} \|\pi_x(X_i, Y_i, Z_i, K, R, t) - \hat{x}_i\|^2 +$$

$$+ \sum_{i \in V} \|\pi_y(X_i, Y_i, Z_i, K, R, t) - \hat{y}_i\|^2 \rightarrow \min_{R, t}$$

соответствуют модели проектирования с заданной погрешностью.

## Положение камеры по проекциям точек

Пусть известны координаты  $N$  точек трехмерного объекта  $\{(X_i, Y_i, Z_i)\}_{i=1}^N$  и их проекции на плоскость изображения  $\{(x_i, y_i)\}_{i=1}^N$ . Задача нахождения матрицы камеры  $P$  по этим данным называется задачей Perspective-n-Point (PnP).

$$\lambda_i \begin{pmatrix} x_i \\ y_i \\ 1 \end{pmatrix} = P \begin{pmatrix} X_i \\ Y_i \\ Z_i \\ 1 \end{pmatrix}, \quad i = 1 \dots N.$$

Неизвестны:  $\lambda_i, P$ .

## Положение камеры относительно объекта (2)

$$\lambda_i \begin{pmatrix} x_i \\ y_i \\ 1 \end{pmatrix} = P \begin{pmatrix} X_i \\ Y_i \\ Z_i \\ 1 \end{pmatrix}, \quad i = 1 \dots N.$$

Неизвестны:  $\lambda_i, P$ .

- Сколько уравнений?

## Положение камеры относительно объекта (2)

$$\lambda_i \begin{pmatrix} x_i \\ y_i \\ 1 \end{pmatrix} = P \begin{pmatrix} X_i \\ Y_i \\ Z_i \\ 1 \end{pmatrix}, \quad i = 1 \dots N.$$

Неизвестны:  $\lambda_i, P$ .

- Сколько уравнений?
- Сколько точек необходимо для однозначного решения?

## Положение камеры относительно объекта (2)

$$\lambda_i \begin{pmatrix} x_i \\ y_i \\ 1 \end{pmatrix} = P \begin{pmatrix} X_i \\ Y_i \\ Z_i \\ 1 \end{pmatrix}, \quad i = 1 \dots N.$$

Неизвестны:  $\lambda_i, P$ .

- Сколько уравнений?
- Сколько точек необходимо для однозначного решения?

## Положение камеры относительно объекта (2)

$$\lambda_i \begin{pmatrix} x_i \\ y_i \\ 1 \end{pmatrix} = P \begin{pmatrix} X_i \\ Y_i \\ Z_i \\ 1 \end{pmatrix}, \quad i = 1 \dots N.$$

Неизвестны:  $\lambda_i, P$ .

- Сколько уравнений?
- Сколько точек необходимо для однозначного решения?
- Какие возможны неоднозначности?

## Положение камеры относительно объекта (2)

$$\lambda_i \begin{pmatrix} x_i \\ y_i \\ 1 \end{pmatrix} = P \begin{pmatrix} X_i \\ Y_i \\ Z_i \\ 1 \end{pmatrix}, \quad i = 1 \dots N.$$

Неизвестны:  $\lambda_i, P$ .

- Сколько уравнений?
- Сколько точек необходимо для однозначного решения?
- Какие возможны неоднозначности?

## Положение камеры относительно объекта (2)

$$\lambda_i \begin{pmatrix} x_i \\ y_i \\ 1 \end{pmatrix} = P \begin{pmatrix} X_i \\ Y_i \\ Z_i \\ 1 \end{pmatrix}, \quad i = 1 \dots N.$$

Неизвестны:  $\lambda_i, P$ .

- Сколько уравнений?
- Сколько точек необходимо для однозначного решения?
- Какие возможны неоднозначности?
- Если  $P = K[R t]$ , то сколько точек должно хватать?

## Положение камеры относительно объекта (2)

$$\lambda_i \begin{pmatrix} x_i \\ y_i \\ 1 \end{pmatrix} = P \begin{pmatrix} X_i \\ Y_i \\ Z_i \\ 1 \end{pmatrix}, \quad i = 1 \dots N.$$

Неизвестны:  $\lambda_i, P$ .

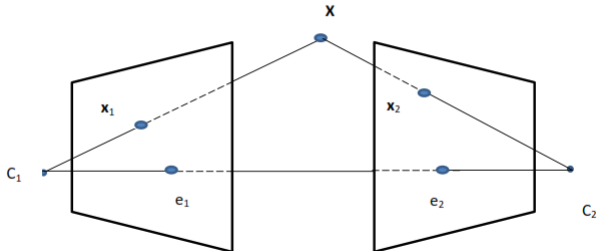
- Сколько уравнений?
- Сколько точек необходимо для однозначного решения?
- Какие возможны неоднозначности?
- Если  $P = K[R t]$ , то сколько точек должно хватать?

## Положение калиброванной камеры по проекциям точек: метод

- Домножение на  $K^{-1}$
- Поиск  $P = [R \ t] \in M(3, 4)$
- Уточнение - поиск  $\phi, t : R = R(\phi), \phi \in \mathbb{R}^3$

В случае наличия выбросов, первые 2 шага необходимо запускать в цикле по случайным гипотезам

## Двухкамерное сопоставление



Система координат задана камерой  $C_1$ .

$$\lambda_1 \mathbf{x}_2 = K[R \ t] \begin{pmatrix} \mathbf{X} \\ 1 \end{pmatrix} \implies \mathbf{e}_2 = Kt, \quad \mathbf{x}_1 = \lambda_2 \mathbf{X}$$

Проведем прямую через  $\mathbf{x}_2, \mathbf{e}_2$ :

$$\begin{aligned} I(\mathbf{x}_2, \mathbf{e}_2) &= \mathbf{x}_2 \times \mathbf{e}_2 =_h (K(R\lambda_3 \mathbf{X} + \mathbf{t})) \times Kt = \lambda_3 K R \mathbf{X} \times Kt = \\ &= \mathbf{F}\mathbf{X} = \lambda_2 \mathbf{F}\mathbf{x}_1 \implies \mathbf{x}_2^T \mathbf{F}\mathbf{x}_1 = 0 \end{aligned}$$

## Двухкамерное сопоставление (2)

Определение

Эпиполярная линия (прямая) - прямая, проходящая через проекцию центра одной камеры на другую.

Определение

Фундаментальная матрица - матрица, домножение которой на однородные координаты проекции точки на первую камеру дает однородные координаты эпиполярной прямой на второй камере.

$$I(x_2, e_2) = Fx_1 \implies x_2^T F x_1 = 0$$

Записав систему уравнений, можно вычислить фундаментальную матрицу

Пусть  $\bar{x}_1 = K^{-1}x_1$ ,  $\bar{x}_2 = K^{-1}x_2$ . Аналогично,

$$I(\bar{x}_2, \bar{e}_2) = R\mathbf{X} \times t \equiv [t]_x R \bar{x}_1,$$

Отсюда  $E = [t]_x R$  где  $[t]_x$  - матрица, домножение на которую дает векторное произведение на  $t$ .

## Существенная матрица

Определение

Существенная матрица - фундаментальная матрица, заданная для камер, у которых матрица камеры - единичная ( $K = I$ ).

$$SVD(E) = U \text{diag}(1, 1, 0) V^T$$

Пусть

$$W = \begin{pmatrix} 0 & -1 & 0 \\ 1 & 0 & 0 \\ 0 & 0 & 1 \end{pmatrix} \quad Z = \begin{pmatrix} 0 & 1 & 0 \\ -1 & 0 & 0 \\ 0 & 0 & 0 \end{pmatrix}.$$

Возможны две факторизации  $E = SR$ :

$$S = UZU^T, \quad R = UWV^T \quad \text{или} \quad R = UW^TV^T$$

Какая из факторизаций верна, решаем проверкой того, что получившиеся точки лежат перед камерой

# Вычислительные методы для фундаментальной и существенной матрицы

Даны: пары проекций точек на первую и вторую  
камеру  $\{(\bar{x}_i, \bar{y}_i)\}_{i=1}^N$   
Найти:  $F$  (или  $E$ )  
сколько точек надо?

# Вычислительные методы для фундаментальной и существенной матрицы

Даны: пары проекций точек на первую и вторую камеру  $\{(\bar{x}_i, \bar{y}_i)\}_{i=1}^N$   
Найти:  $F$  (или  $E$ )  
сколько точек надо?

- 8-точечный метод Составляем  $Af = 0$ , решаем
- 7-точечный метод По определению,  
 $rank(F) = 2 \implies \det(F) = 0$ . Следовательно, можно взять 7 точек, тогда  $f = \alpha v_7 + (1 - \alpha)v_8$ , отсюда находим  $\alpha : rank(F) = 0$ .

Также, можно использовать RANSAC и ММП. При применении RANSAC, 7-точечный метод стабильнее.

# Вычислительные методы для фундаментальной и существенной матрицы

Даны: пары проекций точек на первую и вторую камеру  $\{(\bar{x}_i, \bar{y}_i)\}_{i=1}^N$   
Найти:  $F$  (или  $E$ )  
сколько точек надо?

- 8-точечный метод Составляем  $Af = 0$ , решаем
- 7-точечный метод По определению,  
 $rank(F) = 2 \implies det(F) = 0$ . Следовательно, можно взять 7 точек, тогда  $f = \alpha v_7 + (1 - \alpha)v_8$ , отсюда находим  $\alpha : rank(F) = 0$ .

Также, можно использовать RANSAC и ММП. При применении RANSAC, 7-точечный метод стабильнее.